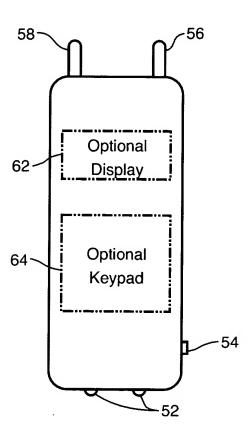


Fig. 2



Fia. 4

Fig. 3

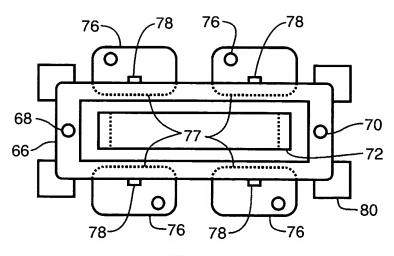
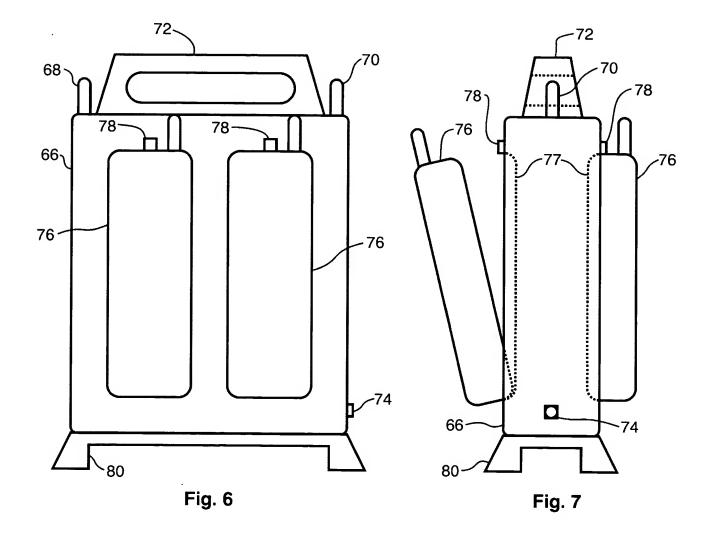


Fig. 5



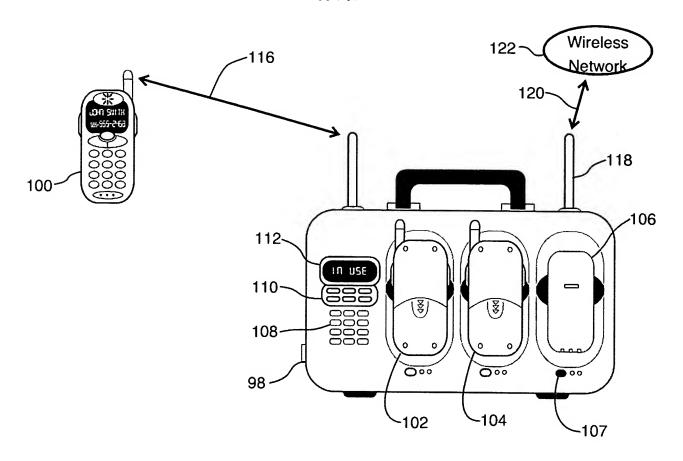


Fig. 8

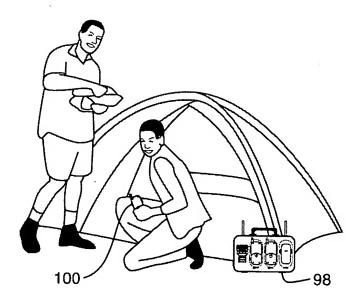
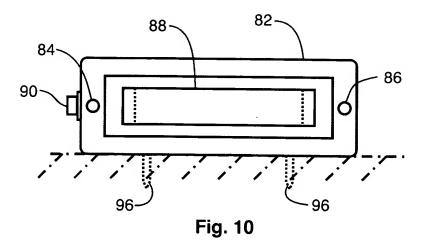
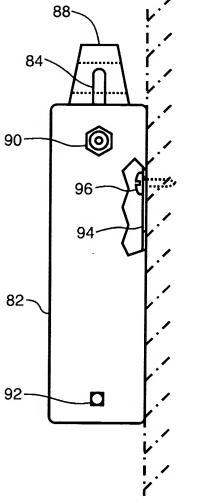


Fig. 9





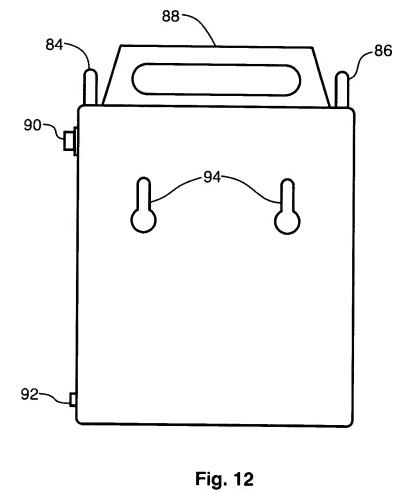


Fig. 11

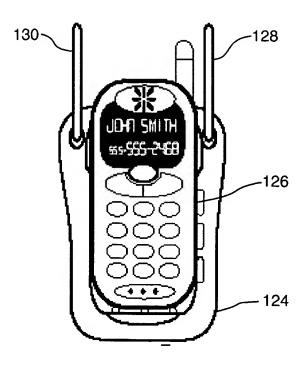


Fig. 13

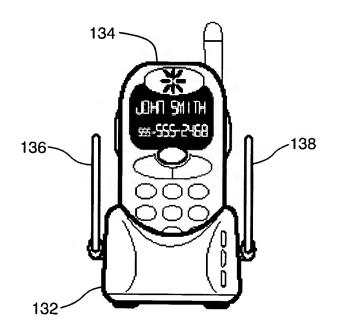


Fig. 14

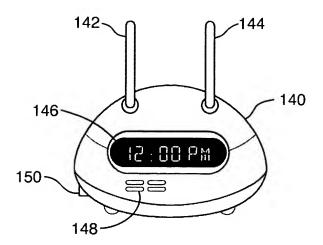


Fig. 15

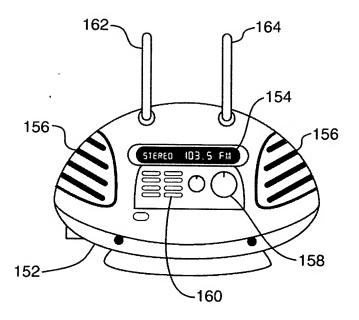
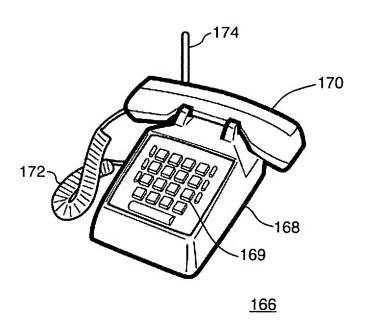


Fig. 16



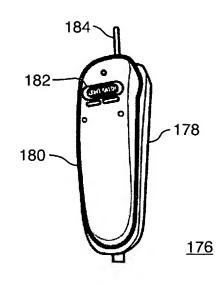
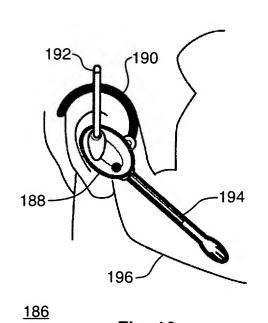


Fig. 17

Fig. 18





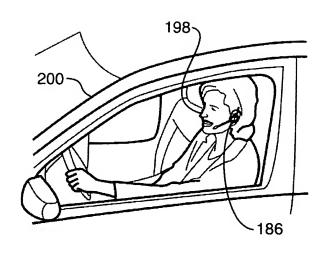


Fig. 20

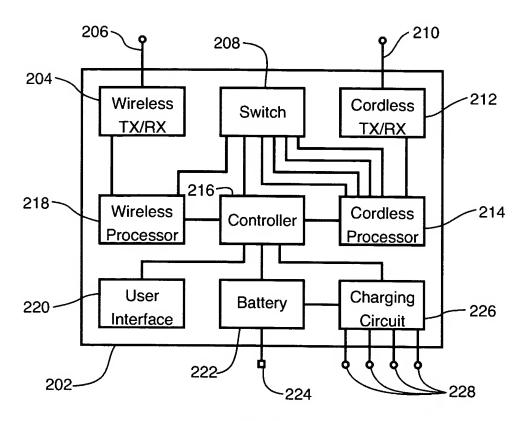


Fig. 21

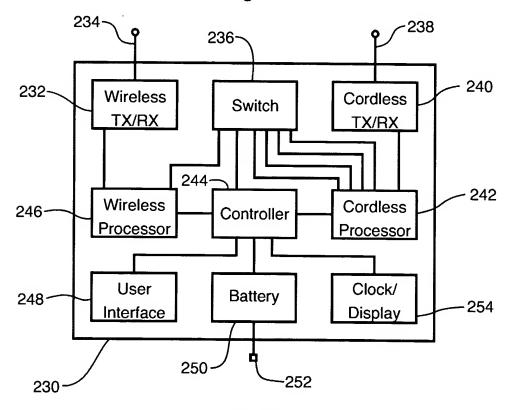


Fig. 22

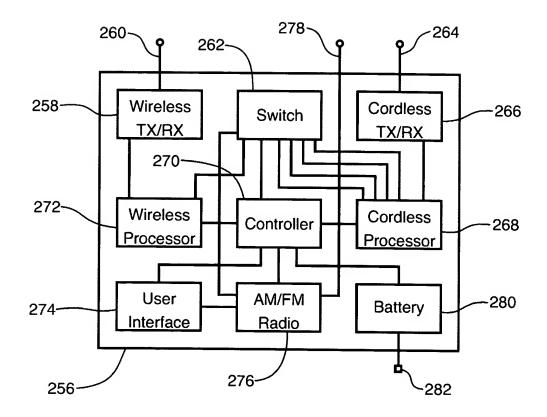


Fig. 23

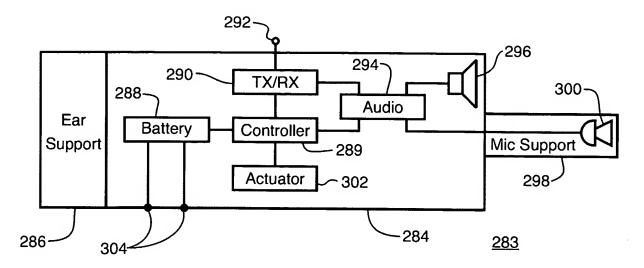


Fig. 24

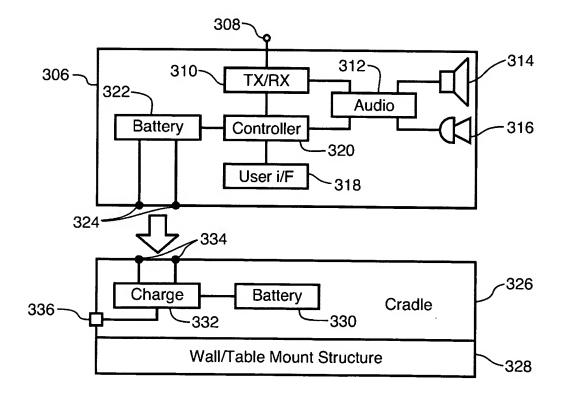


Fig. 25

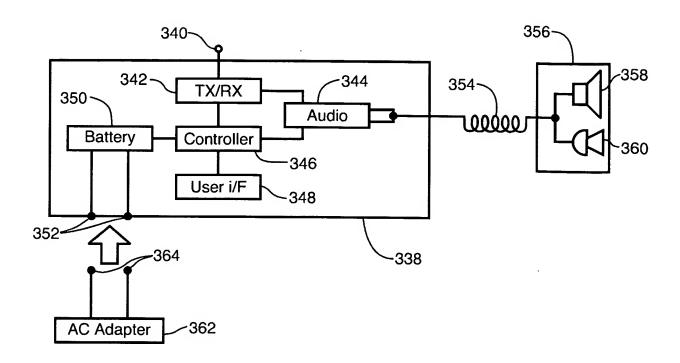


Fig. 26

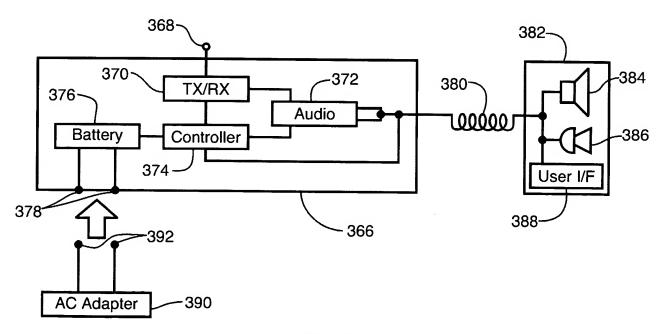
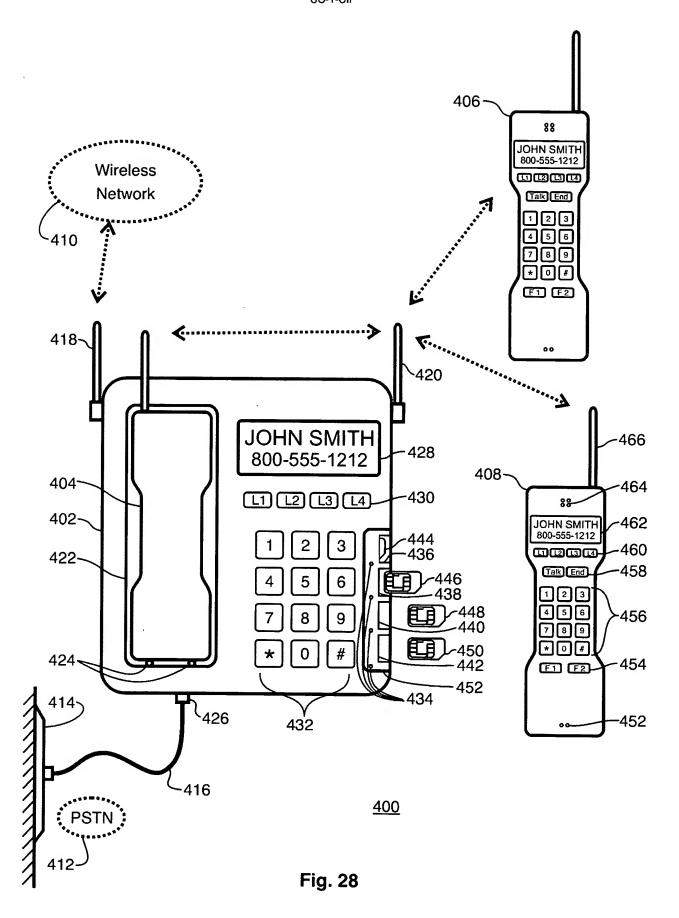


Fig. 27



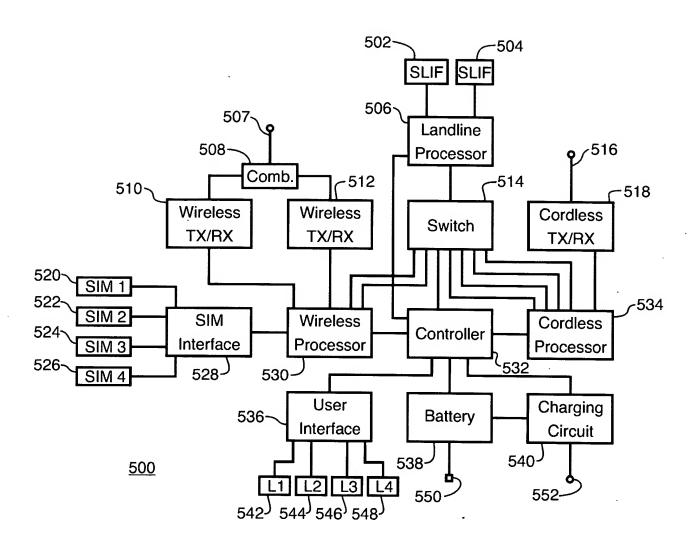


Fig. 29